

电子束泵浦 KrF 受激准分子激光器*

顾之玉 赵仲宏 王绍英
吴承懋 夏能樵 周厚琳

提 要

本文报道了我国研制的第一台用高能电子束横向泵浦 NF_3 、 Kr 和 Ar 混合物的 KrF 激光器。获得了 2484\AA ($\sim 3\text{mJ}$) 的激光输出。总工作气压从 460 托变到 2660 托均有激光输出。给出了 KrF 激光谱线、荧光谱线和激光光斑。还介绍了分气压不变时，激光光谱和激光输出功率随总气压变化的关系，中心波长随气压变化的关系，以及在固定气压下变化分气压比时，激光功率和激光光谱变化的情况。测得了中心波长随分气压比位移的实际值。研究了气体混合时间对出光的影响，以及多次泵浦对激光输出的影响。并在输出阈值、输出功率、激光和荧光谱线方面与国外同类型器件进行了比较。

利用相对论强流电子束泵浦惰性气体单卤化合物，已在紫外和真空紫外波段获得激光输出^[1-9]。我们已报道过用高能电子束泵浦 XeF 激光器的研究工作^[10]，本文将报道用同样的激励手段成功地获得了 KrF 受激准分子的激光输出。

实验装置与文献[10]中报道的相同，但电子枪等的参数有所改变，因为 XeF 激光输出波长在 3511\AA ，而 KrF 激光波长在 2484\AA 。随着波长的减短，对泵浦源的功率电平的要求也将提高。本实验所采用的电子束初能为 0.3MeV ，电子束密度为 300A/cm^2 ，电子束窗口为 $1.4 \times 9\text{cm}^2$ ，电子束横向激励工作气体，电子束注入到激光器体积中的贮能约为 1.5J 。

激光器的光学谐振腔由一对平、凹石英镜片组成。两镜片的反射率分别为 86% 和 89%，都是在石英基片上镀铝，再覆盖一层一定厚度的 MgF 保护层做成的。凹面镜的曲率半径为 1m，镜片的有效直径为 16mm。两面反射镜相隔 15cm，用光学方法把它们调整在激光器光轴上。激光器输出参量的测试装置如图 1 所示。在平面输出镜一端放量热计

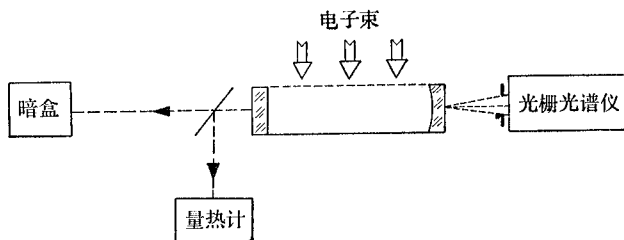


图 1 激光器输出参量的测试装置

* 1978年10月6日收到。

测量激光输出能量。测得 KrF 输出能量在 3mJ 左右(因缺乏快响应紫外波段脉冲能量计,暂用清华大学测量氮分子的激光能量计做标准)。同时在输出光路上的不同位置放置胶片或感光相纸摄取激光光斑。WP-05 型半米光栅光谱仪放在凹面镜一侧,狭缝离凹面镜 21cm。因激光通过凹面镜会有一定的发散,给光谱仪狭缝“对光”的调整工作带来了方便。

KrF 的激光光谱是在气体分压比 $\text{NF}_3:\text{Kr}:\text{Ar}=1:130:1300$ 、总气压为 3.5 大气压时一次放电摄得的,如图 2 所示。第二行为铁谱,由铁谱定出 KrF 强线的波长为 2484 Å,弱线波长为 2491 Å。将输出镜改成未镀铝膜的石英平镜,在同样的工作气体和泵浦条件下,又摄得 KrF 的荧光光谱,如第三行所示。它的下方也是铁谱,供波长定标用。

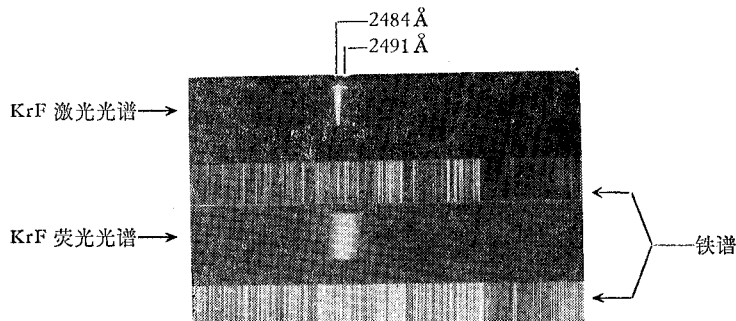


图 2 第一行为激光光谱,用第二行铁谱定标,测得强线波长为 2484 Å,弱线波长为 2491 Å。第三行为荧光光谱,用第四行铁谱定标。拍摄条件: 气体分压比为 $\text{NF}_3:\text{Kr}:\text{Ar}=1:130:1300$, 工作总气压为 3.5 大气压; 一次放电拍摄

所摄谱线的黑度曲线如图 3 所示。激光光谱的两个极大值表示从束缚上能态 $^2\Sigma_{1/2}$ 的两个不同的振动能级跃迁到 $^2\Sigma_{1/2}$ 的排斥基态。在 2484 Å 上的激光强峰比弱峰大 7.7 倍,测得强峰的半宽度为 5.16 Å。荧光光谱的两个宽广的最大值也表现出束缚-自由跃迁。荧光半宽度为 31.8 Å(见图 3),在短波一侧 2454 Å 附近还有一条弱的谱带。

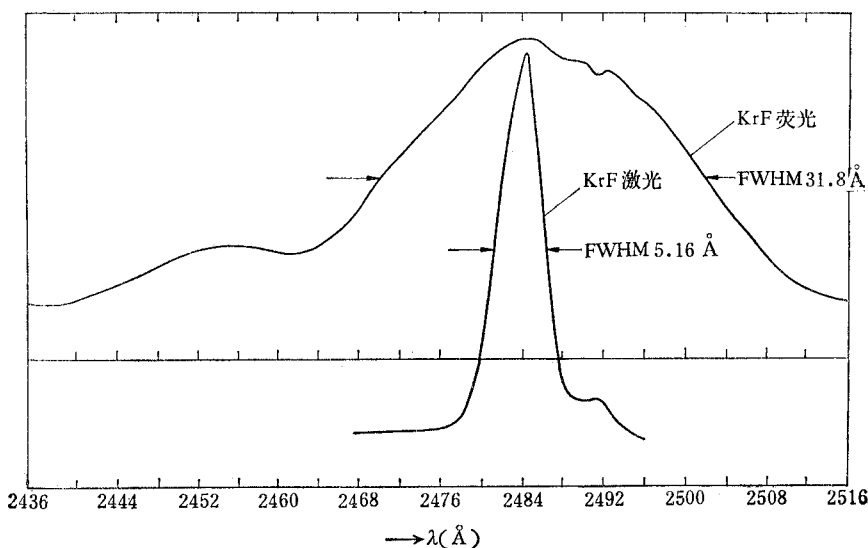


图 3 KrF 激光光谱和荧光光谱的黑度曲线以及其半宽度的比较

保持气体的分压比不变（即 $\text{NF}_3:\text{Kr}:\text{Ar} = 1:130:1300$ ），改变总工作气压，摄得一组谱线，测得的黑度曲线如图 4(a) 所示，谱线中心波长随气压的变化如图 4(b) 所示。当总工作气压从 3.5 大气压降低到 1 个大气压时，谱线的中心波长往短波方向移动 1.6 \AA 。在各种工作气压情况下，谱线宽度的变化不明显。

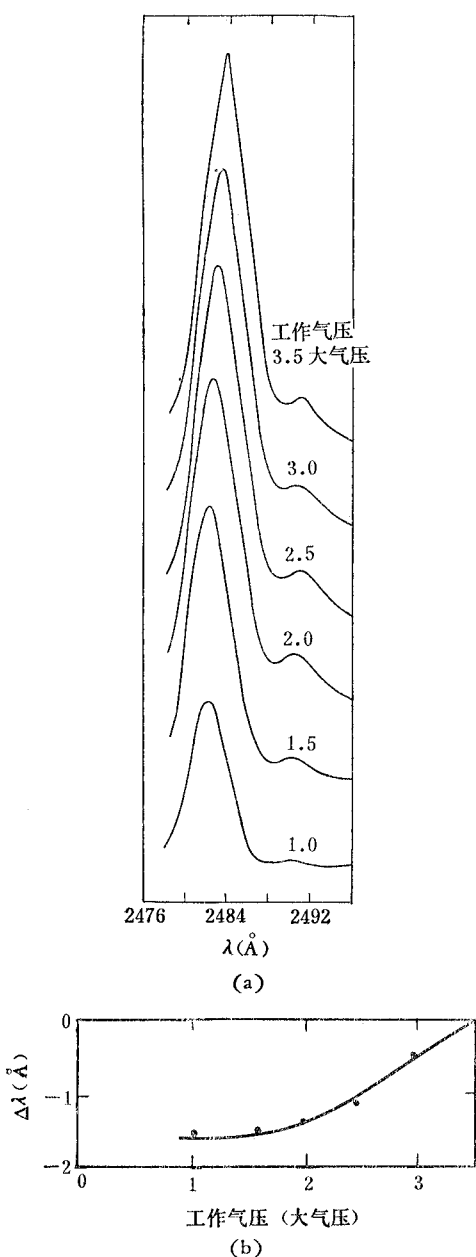


图 4 (a) 不同总工作气压下 KrF 激光谱的黑度曲线 ($\text{NF}_3:\text{Kr}:\text{Ar} = 1:130:1300$ 保持不变) (b) 随总工作气压的下降，中心波长向短波方向移动

激光器输出能量随工作气压的增高而变大，如图 5 所示。图中曲线是在分压比 $\text{NF}_3:\text{Kr}:\text{Ar} = 1:130:1300$ 保持不变的情况下进行的，这说明当工作气压低于 3.5 大气压时，激光介质主要向形成 KrF^* 的过程发展，损耗过程低于 KrF^* 的形成过程。当然也会联想到，由于气压的增高，电子束在气体中的贮能也会增加，这是使激光输出增加的一个因素。

从摄得的光斑来看，当总工作气压为 460 托时就有激光输出，与文献[2]的报道相比较，他们在最低气压为 15 磅/英寸² 绝对压力 (≈ 1.05 大气压) 时才有激光输出。事实证明，我们的激光器的阈值是较低的。同时，本装置的电子束窗口的有效激发区长度只有文献[2]所报道的一半。但由于合理地设计了电子枪的结构，有效地利用了电子束，提高了有效泵浦密度，使器件的总体性能处于较佳状态，因而能在较低气压下得到激光输出。

文献[8]中所用的电子束密度为 250 A/cm^2 ，电子束窗口约为 3cm 长，他们在用 NF_3 代替 F_2 时， KrF 的激光输出能量仅 $40 \mu\text{J}$ ，我们的装置在激光输出能量方面比他们大 70 倍左右。

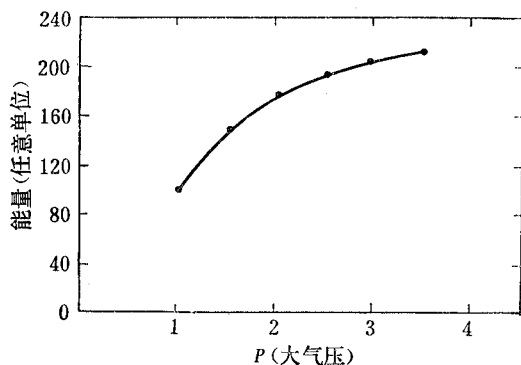
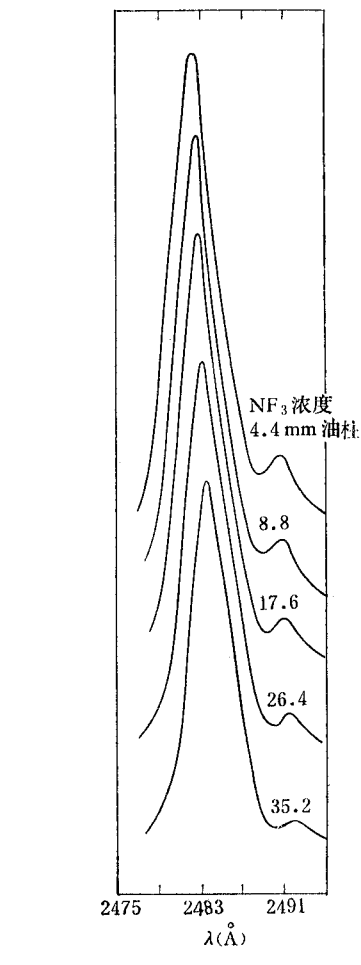
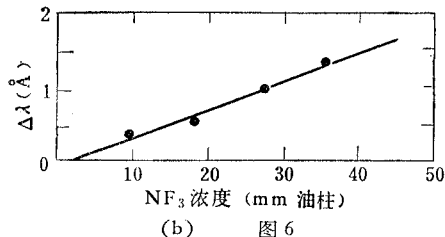


图 5 KrF 激光输出能量与工作气压的关系
(分压比 $\text{NF}_3:\text{Kr}:\text{Ar}=1:130:1300$ 保持不变)

把工作气压恒定在 1 个大气压上, 改变 NF_3 浓度 ($\text{Kr}:\text{Ar} = 0.09:1$ 保持不变), 拍摄了一组光谱, 其黑度曲线如图 6(a) 所示。谱线的中心波长随 NF_3 浓度的增加往长波方向移动, 当 NF_3 的浓度由 4.4 mm 油柱变到 35.2 mm 油柱 (即分压比从 $\text{NF}_3:\text{Kr}:\text{Ar} = 0.5:117:1300$ 变到 $\text{NF}_3:\text{Kr}:\text{Ar} = 4:117:1300$) 时, 谱线中心波长往长波方向移动 1.6 \AA , 如图 6(b) 所示。



(a)



(b)

图 6

(a) 工作气压为 1 大气压时 ($\text{Kr}:\text{Ar} = 0.09:1$ 保持不变), 改变 NF_3 浓度时所摄得的 KrF 激光光谱黑度曲线
(b) 随 NF_3 浓度的增加, 中心波长向长波方向移动

KrF 激光输出能量与 NF_3 浓度的关系如图 7 所示。为了保证 KrF^* 的形成速率和激光运转的必要增益, NF_3 必须有某个最低浓度。由图中曲线可以看出, 当 NF_3 的分气压为 4.4 mm 油柱时还有满足激光输出所必需的增益; 而当 NF_3 浓度下降到 1.1 mm 油柱时, 就观察不到激光输出了。在 NF_3 浓度增大到 70.7 mm 油柱时, 仍有激光输出, 但 NF_3 浓度太大后, 会形成 ArF^* , 由于 ArF^* 的竞争, KrF 的受激辐射就降低了。而 ArF^* 的激光波长为 1930 \AA , 进入了真空紫外波段。这方面的测量工作正在进行。

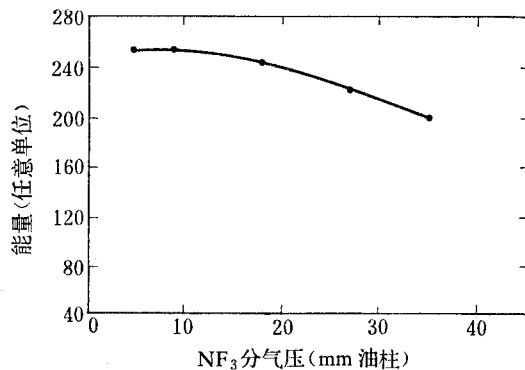


图 7 工作气压为 1 大气压时, 改变 NF_3 浓度, 对 KrF 激光输出能量的影响 (分压比 $\text{Kr}:\text{Ar}=0.09:1$ 保持不变)

当激光腔的镜片严格调整在光轴上时, 可获得单模输出。采用感光软片、光谱干板或相纸均可摄取激光光斑, 在图 8 中示出的光斑是在气压比 $\text{NF}_3:\text{Kr}:\text{Ar} = 1:130:1300$, 总工作气压为 1.25 大气压时拍摄的, 其 x 方向的黑度曲线与 y 方向上的黑度曲线均已测得, 并示于对应的投影方位上。 y 方向正是电子束入射方向, 它在靠近电子束入射膜的一侧和对着的另一侧, 由于激光器结构的需要, 使光斑的轮廓很分明地呈直线状。从不同的位置上摄取的光斑, 可算出激光束的发散角为 8 毫弧度。

在高能电子束激励 Ar、Kr 和 NF₃ 混合物时，产生激发态 Ar*（³P 亚稳态）和电离态 Ar⁺，经过一个独立的动力学过程，多数 Ar⁺ 转换到 Ar*，从 Ar* 又以高效率把能量转换到 Kr。Kr 除了从 Ar 那里间接获得能量外，也可直接从高能电子束那里吸取能量，由于以上这些能量转换过程就要求三种气体均匀地混合在一起。这就需要一段混合时间。我们比较了混合一天的和新配气体立即进行试验的两种情况，在 1.9 大气压下的试验证明，两种情况都有激光输出，但其输出能量前者为后者的 1.6 倍，因此要想使激光能量输出较大，将气体混合一段时间是必要的。

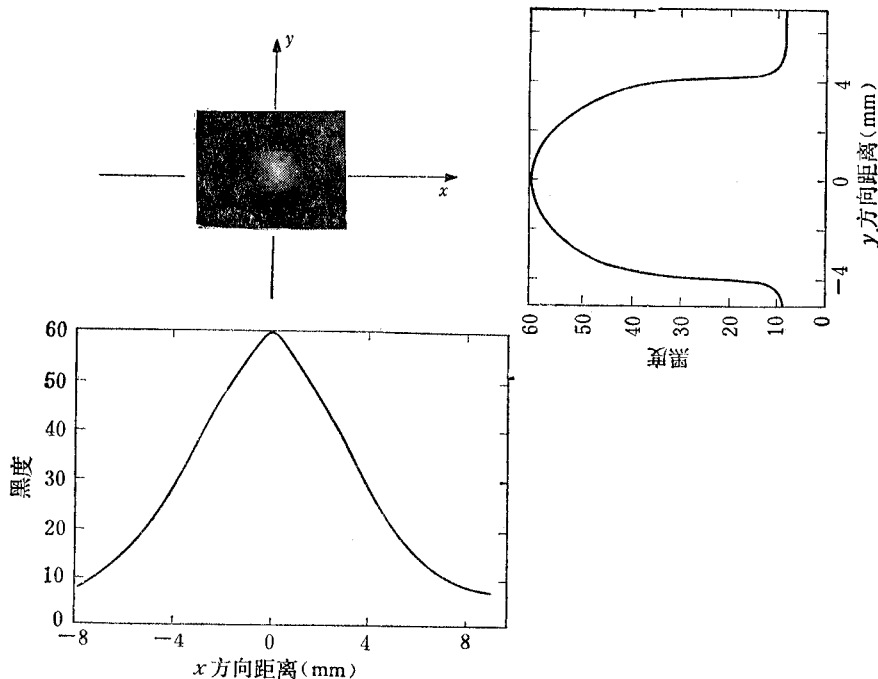


图 8 KrF 激光光斑(照片)以及 x 方向和 y 方向黑度分布曲线，光斑齿输出窗 117 毫米，分压比 NF₃:Kr:Ar=1:130:1300，总气压为 1.25 大气压

工作气体经过多次电子束激励，仍有激光输出，我们观察第 13 次放电仍有强的激光输出。

Ar、Kr 和 NF₃ 三种气体都需要有较高的纯度，否则会降低激光输出，甚至使受激辐射猝灭，我们比较了两种不同纯度的 NF₃（在 Kr 和 Ar 纯度不变的情况下），一种 NF₃ 中含有少量的 NO₂ 及其他气体，另一种 NF₃ 则纯度很高，在同样的泵浦条件下，前者观察不到 KrF 的受激辐射，甚至连自发辐射光谱也极其微弱，而后者则有很强的 KrF 激光输出。

从初步研究可以看出，KrF 激光器的效率是适中的。在一般激光器中，从上能态发生的非辐射损耗是一个严重的问题，为使这种损耗效应减至最小，可使受激辐射对猝灭之比做得较大来实现。但在像 XeF 激光器中，利用的是束缚-弱束缚跃迁，饱和强度限制了受激辐射速率；而 KrF 激光器的能量系统具备束缚-自由跃迁，饱和强度高，一个大的受激辐射速率能够成功地对抗非辐射损耗的竞争，所以可以指望 KrF 激光器与在可见光和紫外区已实现的激光器相比将有更高的效率。

在本工作的研制过程中,中国科技大学左景林同学参加了部分工作,在此致谢!

参 考 文 献

- [1] S. K. Scarles and G. A. Hart, *Appl. Phys. Lett.*, **27**(1975), 243.
- [2] J. J. Ewing and C. A. Brau, *Appl. Phys. Lett.*, **27**(1975), 350.
- [3] C. A. Brau and J. J. Ewing, *Appl. Phys. Lett.*, **27**(1975), 435.
- [4] Er. Ault, R. S. Bradford, Jr. and M. L. Bhaumilk, *Appl. Phys. Lett.*, **27**(1975), 413.
- [5] G. C. Tisone, A. K. Hays and J. M. Hoffman, *Optics Communication*, **15**(1975), 188.
- [6] M. L. Bhaumilk, R. S. Bradford, Jr. and F. R. Ault, *Appl. Phys. Lett.*, **28**(1976), 23.
- [7] J. R. Murray and H. T. Powell, *Appl. Phys. Lett.*, **29**(1976), 252.
- [8] Н. Г. Басов, А. Н. Брунин, В. А. Данилычев, А. Г. Дегтярев, В. А. Долгих. *Квантовая Электроника*. **4** (1977), 1595.
- [9] J. M. Hoffman, A. K. Hago and G. C. Tisone, *Appl. Phys. Lett.*, **28**(1976), 538.
- [10] 顾之玉、赵仲宏、瞿宝光、吴承懋, 电子学报, **1** (1978) 2, 93.